

4. Рвачев В. Л. Методы алгебры логики в математической физике. К., «Наук. думка», 1974. 259 с.  
 5. Рвачев В. Л., Слесаренко А. П. Алгебра логики и интегральные преобразования в крайних задачах. К., «Наук. думка», 1976. 240 с.

Институт проблем  
 машиностроения АН УССР

Поступила в редколлегию  
 26.III 1976 г.

УДК 539.377

Г. С. Кит, М. Г. Кривцун

**НАПРЯЖЕННОЕ СОСТОЯНИЕ КРУГЛОГО ДИСКА С ТРЕЩИНАМИ,  
 НА БЕРЕГАХ КОТОРЫХ ЗАДАНЫ ТЕМПЕРАТУРА  
 ИЛИ ТЕПЛОВЫЙ ПОТОК**

Рассмотрим упругий изотропный диск радиусом  $R$  и единичной толщины. Декартовы и полярные координаты комплексного переменного  $z = x + iy = \rho e^{i\theta}$  будем считать безразмерными, отнесенными к радиусу диска  $R$  (рис. 1). Обозначим через  $L = \bigcup_{k=1}^n L_k$  совокупность отрезков  $L_k = [a_k, b_k]$  оси  $Ox$ , не имеющих общих точек и не выходящих на обвод диска.

Пусть в теплоизолированном с боковых поверхностей сплошном диске задано симметричное относительно оси  $Ox$  стационарное температурное поле  $t_0(x, y)$ , а на обводе поддерживается заданная температура  $t_0(1, \theta)$ . Допустим, что по отрезкам  $L_k$  этой оси проведены разрезы, на берегах которых поддерживается заданная температура  $f_0(x)$  или тепловой поток  $q(x)$ , направленный в противоположные стороны по нормали к трещине.

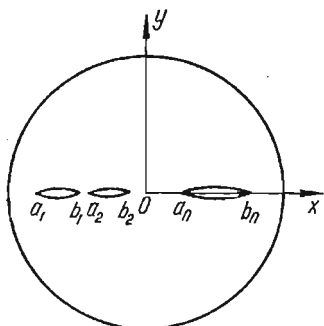


Рис. 1

Если функцию  $T(x, y)$ , описывающую распределение температуры в диске с трещинами, представить в виде

$$T(x, y) = t_0(x, y) + t(x, y), \quad (1)$$

то для определения неизвестной функции  $t(x, y)$  необходимо решить уравнение Лапласа  $\Delta t = 0$

при граничных условиях

$$t(1, \theta) = 0, \quad (2)$$

$$t(x, \pm 0) = f(x) \text{ или } \lambda \left( \frac{\partial t}{\partial y} \right)^\pm = \mp q(x), \quad x \in L, \quad (3)$$

где  $f(x) = f_0(x) - t_0(x, 0)$ ,  $\lambda$  — коэффициент теплопроводности тела.

Будем искать температуру  $t(x, y)$  в виде потенциала простого слоя

$$t(x, y) = \operatorname{Re} F(z), \quad F(z) = \frac{1}{\pi} \int_L \gamma(\tau) \ln \frac{\tau - z}{1 - \tau z} d\tau, \quad (4)$$

что соответствует размещению на  $L$  источников тепла с неизвестной плотностью  $\gamma(x)$ . Определенная таким образом функция  $t(x, y)$  является гармонической и удовлетворяет граничному условию (2). Из граничного условия (3) для определения плотности источников тепла получим интегральное уравнение

$$\frac{1}{\pi} \int_L \gamma(\tau) \ln \left| \frac{\tau - x}{1 - \tau x} \right| d\tau = f(x), \quad x \in L, \quad (5)$$

или

$$\int_L \gamma(\tau) \delta(\tau - x) d\tau = q(x), \quad x \in L,$$

где  $\delta(\tau - x)$  — дельта-функция. Из последнего уравнения видно, что при заданном на берегах трещин тепловом потоке  $q(x)$  плотность источников тепла пропорциональна заданному потоку.

Для решения уравнения (5) проинтегрируем его по  $x$  и сделаем в полученном выражении замену переменных

$$\xi = \left( \frac{1 - \tau}{1 + \tau} \right)^2, \quad \omega = \left( \frac{1 - x}{1 + x} \right)^2. \quad (6)$$

Тогда уравнение для определения плотности источников тепла примет вид

$$\frac{1}{\pi} \int_{L_*} \gamma_*(\xi) \frac{d\xi}{\xi - \omega} = f_*(\omega), \quad \omega \in L_*, \quad (7)$$

где

$$\gamma_*(\tau) = (1 + \tau)^2 \gamma(\tau); \quad f_*(x) = (1 + x)^2 f'(x); \quad L_* = \bigcup_{k=1}^n L_k^*;$$

$$L_k^* = [a_k^*, b_k^*]; \quad a_k^* = \left( \frac{1 - b_{n+1-k}}{1 + b_{n+1-k}} \right)^2; \quad b_k^* = \left( \frac{1 - a_{n+1-k}}{1 + a_{n+1-k}} \right)^2.$$

Неограниченное на концах разрезов решение уравнения (7) запишем так [1]:

$$\gamma_*(\omega) = \frac{i}{R^+(\omega)} \left[ \sum_{k=0}^{n-1} c_k \omega^k - \frac{1}{\pi i} \int_{L_*} \frac{R^+(\xi) f_*(\xi) d\xi}{\xi - \omega} \right], \quad (8)$$

где

$$R(\omega) = \sum_{k=1}^n (\omega - a_k^*)^{1/2} (\omega - b_k^*)^{1/2}, \quad \lim_{\omega \rightarrow \infty} \omega^{-1} R(\omega) = 1,$$

а действительные постоянные  $c_0, c_1, \dots, c_{n-1}$  определяются из системы уравнений

$$\sum_{k=1}^{n-1} c_k \int_{b_m^*}^{a_{m+1}^*} \frac{\omega^k d\omega}{R(\omega) \sqrt{\omega}} = 4 [f(b_{n-m}) - f(a_{n+1-m})] -$$

$$- \frac{1}{\pi i} \int_{b_m^*}^{a_{m+1}^*} \frac{d\omega}{R(\omega) \sqrt{\omega}} \int_{L_*} \frac{R^+(\xi) f_*(\xi) d\xi}{\xi - \omega}, \quad m = \overline{0, n-1}, \quad b_0^* \equiv 0, \quad a_{n+1}^* \equiv 1.$$

Определим термоупругое состояние рассматриваемого диска, обусловленное температурным полем (1). Предположим, что граница диска свободна от внешних усилий, а на трещинах заданы нормальные напряжения  $\sigma_{yy}^p(x)$ . Вследствие симметричности температурного поля относительно линии расположения трещин касательные напряжения на всей оси  $Ox$  будут равны нулю и граничные условия задачи запишутся так:

$$\sigma_{\rho\rho}(1, \theta) + i\sigma_{\rho\theta}(1, \theta) = 0, \quad \sigma_{yy}(x, 0) = \sigma_{yy}^p(x), \quad x \in L. \quad (9)$$

Термоупругое состояние диска с трещинами представим в виде суммы двух составляющих  $\sigma_{ij} = \sigma_{ij}^y + \sigma_{ij}^u$  ( $i, j = x, y$  или  $\rho, \theta$ ), соответствующих

источникам тепла с плотностью  $\gamma(x)$  и скачку производной от смещений берегов трещин  $\mu(x) = \frac{2G}{x+1} \frac{\partial}{\partial x} (v^+ - v^-)$ .

Напряжения  $\sigma_{yy}^u(x)$  выражаются через  $\mu(x)$  так [3]:

$$\sigma_{yy}^u(x) = \frac{1}{\pi} \int_L \mu(\tau) \left[ \frac{1}{\tau-x} + K(\tau, x) \right] d\tau,$$

$$K(\tau, x) = \tau + \frac{x-\tau}{\omega} + \frac{x-g\tau}{\omega^2} + \frac{x-\tau(1+g)}{\omega^3}, \quad g = 1 - \tau^2, \quad \omega = 1 - \tau x.$$

Напряжения  $\sigma_{yy}^v(x)$  представим в виде

$$\sigma_{yy}^v(x) = \int_L \gamma(\tau) \sigma_{yy}^u(\tau, x) d\tau, \quad (10)$$

где напряжение  $\sigma_{yy}^u(\tau, x)$ , соответствующее случаю, когда в точке  $x = \tau$ ,  $y = 0$  сплошного диска помещен источник тепла единичной мощности, определяется формулой

$$\sigma_{yy}^u(\tau, x) = -\frac{H}{\pi} \left[ \ln \left| \frac{\tau-x}{\omega} \right| + \frac{1}{2} M(\tau, x) \right], \quad M(\tau, x) = \frac{g}{\omega} \left( 2 - \omega + \frac{g}{\omega} \right) \quad (11)$$

( $H = \frac{\alpha_l E}{2(1-\nu)}$  для плоской деформации и  $H = \frac{\alpha_l E}{2}$  для плоского напряженного состояния,  $E$  — модуль упругости,  $\alpha_l$  — коэффициент линейного теплового расширения).

Используя выражение (11) и исключив с помощью соотношения (5) логарифмическую часть ядра, формулу (10) перепишем в удобном для вычислений виде

$$\sigma_{yy}^v(x) = -H \left[ f(x) + \frac{1}{2\pi} \int_L \gamma(\tau) M(\tau, x) d\tau \right].$$

Удовлетворяя теперь второму условию (9) и представляя функцию  $\mu(x)$  в виде

$$\mu(x) = H \left[ \mu_1(x) + \frac{1}{2\pi} \int_L \gamma(\tau) \mu_2(\tau, x) d\tau \right], \quad (12)$$

для определения функций  $\mu_1(x)$  и  $\mu_2(\tau, x)$  получаем сингулярные интегральные уравнения, отличающиеся только правой частью:

$$\frac{1}{\pi} \int_L \mu_i(\tau, \tau_0) \left[ \frac{1}{\tau_0-x} + K(\tau_0, x) \right] d\tau_0 = M_j(\tau, x), \quad j = 1, 2, \quad x \in L, \quad (13)$$

где обозначено:  $\mu_1(\tau, x) \equiv \mu_1(x)$ ;  $M_1(\tau, x) = f(x) + p(x)$ ;  $M_2(\tau, x) = M(\tau, x)$ ;  $\sigma_{yy}^v(x) = Hp(x)$ . Удобство представления (12) состоит в том, что функция  $\mu_2(\tau, x)$  не зависит от заданных на трещине температуры или теплового потока. Применяя к сингулярному члену соотношения (13) формулу обращения интеграла типа Коши [1] для определения функции  $\mu_j(\tau, x)$  получаем уравнение Фредгольма второго рода

$$\mu_j(\tau, x) = \frac{i}{X_n^+(x)} \left[ \sum_{k=0}^{n-1} c_{jk} x^k - Q_j(\tau, x) + \frac{1}{\pi} \int_L \mu_j(\tau, \tau_0) \Omega(\tau_0, x) d\tau_0 \right], \quad (14)$$

где

$$Q_s(\tau, x) = \frac{1}{\pi i} \int_L \frac{X_n^+(\tau_0) M_s(\tau, \tau_0) d\tau_0}{\tau_0 - x}, \quad s = 0, 1, 2;$$

$$Q_0(\tau, x) \equiv \Omega(\tau, x); \quad M_0(\tau, \tau_0) \equiv K(\tau, \tau_0); \quad X_n^-(z) = \prod_{k=1}^n (z - a_k)^{1/2} (z - b_k)^{1/2}.$$

Произвольные постоянные  $c_{j0}$ ,  $c_{j1}$ ,  $c_{j,n-1}$  определяются из условий непрерывности перемещений в вершинах трещин

$$\int_{a_k}^{b_k} \mu_j(\tau, x) dx = 0, \quad k = \overline{1, n}.$$

Рассмотрим случай одной трещины. При  $n = 1$ ,  $a_1 = a$ ,  $b_1 = b$  уравнения (14) после вычисления внутренних интегралов запишутся так:

$$X(x) \mu_j(\tau, x) - \frac{1}{\pi} \int_a^b \mu_j(\tau, \tau_0) \Omega(\tau_0, x) d\tau_0 + Q_j(\tau, x) = 0, \quad j = 1, 2, \quad (15)$$

$$Q_2(\tau, x) = g \left[ x - \varepsilon + \frac{2}{\tau} \left( 1 - \frac{X_*(\tau)}{\omega} \right) + g \frac{\delta^2 \tau + (\varepsilon - x)(1 - \varepsilon \tau)}{X_*(\tau) \omega^2} \right],$$

$$\Omega(\tau, x) = -1 + \tau(\varepsilon - x) + \left[ X_*(\tau) - \frac{g(1 - \varepsilon \tau)}{X_*(\tau)} + \frac{\delta^2 g^2}{2X_*^3(\tau)} \right] \frac{1}{\omega} + \\ + \frac{gX_*(\tau)}{\omega^2} + \frac{\delta^2 - \varepsilon g^2(\varepsilon - x)}{X_*(\tau) \omega^3} + (\varepsilon - x) \frac{g^2 - \omega^3 X_*(\tau)}{\tau \omega^3 X_*(\tau)},$$

$$X(\tau) = \sqrt{(b - \tau)(\tau - a)}, \quad X_*(\tau) = \sqrt{(1 - a\tau)(1 - b\tau)}, \quad \delta = \frac{b - a}{2}, \quad \varepsilon = \\ = \frac{b + a}{2}.$$

Решения уравнений (15) ищем в виде

$$\mu_j(\tau, x) = \frac{\delta \mu_j^0(\tau, x)}{X(x)}, \quad \mu_j^0(\tau, x) = \frac{d_{j0}}{2} + \sum_{k=1}^{N-1} d_{jk} T_k \left( \frac{x - \varepsilon}{\delta} \right),$$

где  $T_k(x)$  — полиномы Чебышева I рода;  $d_{1k} = \frac{2}{N} \sum_{m=1}^N \mu_1^0(x_m) \cos k\theta_m$ ;

$$x_m = \varepsilon + \delta \cos \theta_m; \quad \theta_m = \frac{2m-1}{2N} \pi; \quad d_{2k} = \frac{D_{k0}}{2} + \sum_{\nu=1}^{N-1} D_{k\nu} T_\nu \left( \frac{\tau - \varepsilon}{\delta} \right);$$

$$D_{k\nu} = \frac{4}{N^2} \sum_{m=1}^N \cos k\theta_m \sum_{p=1}^N \mu_2^0(\tau_p, x_m) \cos \nu\theta_p; \quad \tau_p = \varepsilon + \delta \cos \theta_p.$$

Тогда значения  $\mu_{j\rho m}^0 = \mu_j^0(\tau_p, x_m)$  определяются из систем уравнений

$$\mu_{j\rho m}^0 - \frac{1}{N} \sum_{k=1}^N \mu_{j\rho k}^0 \Omega(\tau_k, x_m) + Q_j(\tau_p, x_m) = 0, \quad m, \rho = \overline{1, N}.$$

Коэффициенты интенсивности нормальных напряжений определим по формулам

$$K_{1c} = \mp \sqrt{\frac{\pi R}{\delta}} \lim_{x \rightarrow c} X(x) \mu(x) = \mp \sqrt{\pi R \delta} \mu_0(c), \quad c = a, b, \quad (16)$$

где верхний знак соответствует правому, а нижний — левому концам трещины.

Для центральной трещины ( $b = -a = \delta$ ) формулу коэффициента интенсивности напряжений можно записать так:

$$K_1 = \delta R H \int_{-1}^1 \{ K_1^*(s) |p(s) + f(s)| + K_2^*(s) \gamma(s) \} ds, \quad (17)$$

где  $K_1^*(s)$  — коэффициент интенсивности нормальных напряжений, вызванных двумя сосредоточенными единичными силами, приложенными к берегам трещины в точке  $x = \delta s$  и направленными в противоположные стороны,

который определяется [2] так:

$$K_1^*(s) = \sqrt{\frac{1-s^2}{\pi R \delta}} \left[ \frac{1}{1 \mp s} + 3\delta^2 + \left( \frac{1}{2} \pm \frac{9}{2}s - 2s^2 \right) \delta^4 + \right. \\ \left. + \left( \frac{1}{4} \mp 5s + 5s^2 \mp \frac{5}{2}s^3 \right) \delta^6 + \left( \frac{9}{8} \pm \frac{39}{4}s - \frac{15}{8}s^2 \pm \frac{75}{8}s^3 - \frac{9}{2}s^4 \right) \delta^8 \right], \quad (18)$$

$$K_2^*(s) = \frac{\delta}{2\pi} \int_{-1}^1 K_1^*(\sigma) M(s, \sigma) d\sigma.$$

Разлагая в последней формуле функцию  $M(s, \sigma)$  в ряд по полудлине трещины  $\delta$  ( $\delta < 1$ )

$$M(s, \sigma) = \sum_{m=0}^{\infty} M_m(s, \sigma) \delta^{2m}, \quad M_0 = 2, \quad M_1(s, \sigma) = 4s\sigma - 3s^2,$$

$M_m(s, \sigma) = (m+3)s^m\sigma^m - 2(m+1)s^{m+1}\sigma^{m-1} + (m-1)s^{m+2}\sigma^{m-2}$ ,  $m \geq 2$ , и вычисляя интеграл, получаем

$$K_2^*(s) = \sqrt{\frac{\delta}{\pi R}} \left[ 1 + \left( \frac{3}{2} \pm s - \frac{3}{2}s^2 \right) \delta^2 + \left( -1 \mp \frac{3}{2}s + \frac{1}{2}s^2 \right) s^2 \delta^4 + \right. \\ \left. + \left( \frac{3}{4} \pm \frac{9}{16}s + \frac{15}{16}s^2 \pm \frac{9}{8}s^3 - \frac{5}{4}s^4 \pm \frac{1}{2}s^5 \right) \delta^6 + \right. \\ \left. + \left( \frac{3}{64} \mp \frac{25}{16}s - \frac{41}{32}s^2 \mp \frac{27}{16}s^3 - \frac{3}{16}s^4 \mp \frac{15}{8}s^5 + \frac{3}{4}s^6 \right) \delta^8 \right]. \quad (19)$$

Найдем коэффициенты интенсивности напряжений в диске с центральной трещиной, на берегах которой заданы температура  $f_0(x) = \lambda_0 T_0$  и нормальные напряжения  $\sigma_{yy}^p(x) = -\lambda_p H T_0$ , а на границе диска поддерживается температура  $t_c = \lambda_c T_0$  (здесь  $\lambda_0, \lambda_p, \lambda_c$  — безразмерные параметры). В этом случае плотность источников тепла

$$\gamma(x) = -\frac{\lambda_0 T_0 (1+\delta)^2}{2K(r) \sqrt{(\delta^2 - x^2)(1 - \delta^2 x^2)}}, \quad r = \left( \frac{1-\delta}{1+\delta} \right)^2, \quad \lambda_t = \lambda_0 - \lambda_c, \quad (20)$$

где  $K(r)$  — полный эллиптический интеграл I рода.

Подставляя выражения (18) — (20) в формулу (17), находим коэффициент интенсивности напряжений в диске с центральной трещиной (ввиду симметрии  $K_{1a} = K_{1b} = K_1$ )

$$K_1 = H T_0 \sqrt{R} [(\lambda_p - \lambda_t) K_{11} + \lambda_t K_{12}], \quad (21)$$

где

$$K_{11} = \sqrt{\pi \delta} \left( 1 + \frac{3}{2} \delta^2 + \frac{3}{4} \delta^6 + \frac{3}{64} \delta^8 \right);$$

$$K_{12} = \frac{\sqrt{\pi \delta} (1+\delta)^2}{2K(r)} \left( 1 + \frac{3}{4} \delta^2 - \frac{1}{16} \delta^4 + \frac{27}{32} \delta^6 - \frac{51}{128} \delta^8 \right). \quad (22)$$

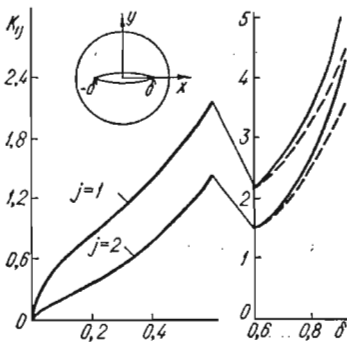


Рис. 2

На рис. 2 приведены зависимости коэффициентов  $K_{1j}$  ( $j = 1, 2$ ) от безразмерной полудлины трещины  $\delta$ . Сплошные линии соответствуют значениям  $K_{1j}$ , полученным в результате численного решения на ЭВМ «Минск-32» уравнения (15) при  $N = 30$ , а пунктирные — приближенным значениям, полученным по формулам (22). Сопоставление приведенных графиков показывает, что формулы (22) с удовлетворительной для практики точностью (погрешность менее 5%) можно применять, если  $\delta < 0,8$ . Используя полученные зависимости, из условия  $K_1 = K_{1c}$  можно определить критические значения параметров  $\lambda_t^*$  или  $\lambda_p^*$ . Из

анализа полученных результатов следует, что при надлежащем выборе температурного поля в нагруженной конструкции можно снизить интенсивность напряжений в вершине трещины до допустимой для данного материала нормы, а следовательно, предупредить распространение трещины.

#### ЛИТЕРАТУРА

1. Гахов Ф. Д. Краевые задачи. М., Физматгиз, 1958. 543 с.
2. Крестин Г. С., Либайский Л. Л., Ярема С. Я. Напряженное состояние диска с диаметральной трещиной.— ФХММ, 1972, № 2, с. 69—74.
3. Либайский Л. Л. Применение сингулярных интегральных уравнений для определения критических усилий в пластинах с трещинами.— ФХММ, 1965, № 4, с. 410—418.

Львовский филиал математической физика  
Института математики АН УССР

Поступила в редколлегию  
20.IX 1976 г.

УДК 621.785.2 : 621.791.053

Л. П. Беседина, Н. Н. Тимошенко

#### ОПТИМИЗАЦИЯ РЕЖИМОВ НИЗКОТЕМПЕРАТУРНОЙ ОБРАБОТКИ ПОЛОГОЙ СФЕРИЧЕСКОЙ ОБОЛОЧКИ

Одним из применяемых в инженерной практике способов снятия остаточных сварочных напряжений в элементах тонкостенных конструкций и приборов является низкотемпературная обработка, обеспечивающая понижение уровня остаточных напряжений за счет создания дополнительных термопластических деформаций. Методика построения оптимальных режимов низкотемпературной обработки тонких сварных пластин предложена в работе [2]. В данной статье определены температурные поля низкотемпературной обработки пологой сферической оболочки, приводящей к оптимальному снятию остаточных сварочных напряжений.

Рассмотрим сварную пологую сферическую оболочку радиуса  $R$ , толщины  $2h$  с круговым отверстием радиуса  $r_0$ , отнесенную к полярной системе координат  $\rho = \frac{r}{R}$  и  $\theta$  ( $r, \theta$  — радиальная и кольцевая координаты), в которой имеются остаточные напряжения, обусловленные осесимметрическими остаточными деформациями  $e_r^{(0)}(\rho), e_\theta^{(0)}(\rho)$  в окрестности кольцевого сварного шва радиуса  $r = r^* > r_0$ .

Ограничимся рассмотрением случая, когда снятие остаточных напряжений осуществляется путем создания дополнительных термопластических деформаций  $e_r^{(p)}(\rho), e_\theta^{(p)}(\rho) = ke_\theta^{(p)}(\rho)$  в области  $\rho_0 \leq \rho \leq \rho_2$ , образование которых происходит при близком к безмоментному напряженном состоянии в области пластического деформирования оболочки.

Примем, что материал оболочки идеально пластический и удовлетворяет условию текучести Мизеса [5]. Это условие для близкого к безмоментному напряженного состояния оболочки характеризуется эллипсом текучести Мизеса в переменных  $N_r, N_\theta$  и при пластическом деформировании в окрестности некоторой точки  $(N_{r_0}, N_{\theta_0})$  может быть аппроксимировано прямой

$$kN_r + N_\theta - 2hB = 0. \quad (1)$$

Здесь  $N_r, N_\theta$  — радиальные и кольцевые усилия;  $k = \frac{2N_{r_0} - N_{\theta_0}}{2N_{\theta_0} - N_{r_0}}$ ;  $B = \frac{4h\sigma_s^2}{2N_{\theta_0} - N_{r_0}}$ ;  $\sigma_s$  — предел текучести.

Из закона пластического течения, ассоциированного с условием пластичности (1), находим

$$e_r^{(p)}(\rho, \tau) = k\lambda(\rho, \tau), \quad e_\theta^{(p)}(\rho, \tau) = \lambda(\rho, \tau). \quad (2)$$